

## บทที่ 2

### เอกสารและงานวิจัยที่เกี่ยวข้อง

บทนี้กล่าวถึงทฤษฎี เอกสาร และงานวิจัยที่เกี่ยวข้องกับงานวิจัยนี้ซึ่งประกอบด้วย พลาสma การเกิดพลาสma การสร้างพลาสma สมบัติความชอบน้ำ สมบัติความไม่ชอบน้ำ และการศึกษาลักษณะพื้นผิว

#### พลาสma (Plasma)

พลาสma มีการกล่าวถึงครั้งแรกโดย เซอร์ วิลเลียม ครูคส์ (Sir William Crookes) เมื่อ ค.ศ. 1879 และคิดคำว่าพลาสma โดย อิริวิง แลนเมียร์ (Irving Langmuir) เมื่อ ค.ศ. 1928 พลาสma ในทางเคมีและฟิสิกส์ คือ สถานะที่ 4 ของสสาร จากสถานะของสสารทั้งหมด 6 สถานะ คือ

สถานะ 0 : Bose-Einstein condensate

สถานะ 1 : ของแข็ง (Solid)

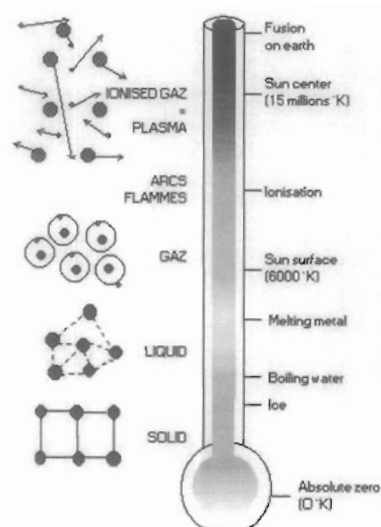
สถานะ 2 : ของเหลว (Liquid)

สถานะ 3 : ก๊าซ (Gas)

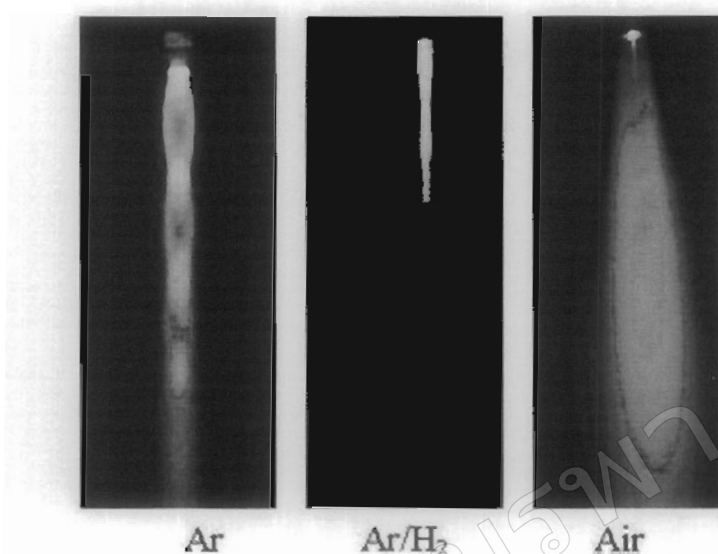
สถานะ 4 : พลาสma (Plasma)

สถานะ 5 : ไฟลามนต์ (Filament)

Solid	Liquid	Gas	Plasma
Example Ice $H_2O$	Example Water $H_2O$	Example Steam $H_2O$	Example Ionized Gas $H_2 \rightarrow H^+ + H^- + 2e^-$
Cold $T < 0^\circ C$	Warm $0 < T < 100^\circ C$	Hot $T > 100^\circ C$	Hotter $T > 100,000^\circ C$ $> 10$ electron Volts!
Molecules Fixed in Lattice	Molecules Free to Move	Molecules Free to Move, Large Spacing	Ions and Electrons Move Independently, Large Spacing



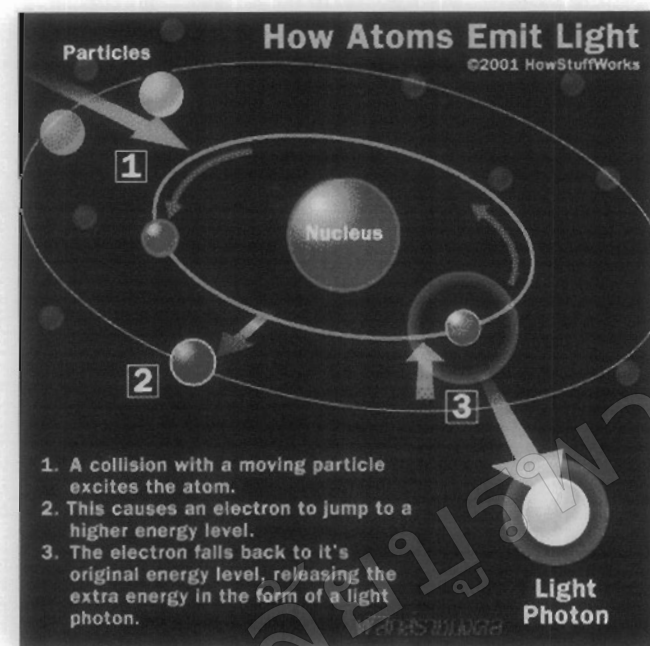
ภาพที่ 2-1 การจับตัวของโนเกลูลในสถานะต่างๆของสสาร (ปริญ คงกระพันธ์, 2551)



ภาพที่ 2-2 พลาสม่าที่เกิดจากก๊าซชนิดต่างๆ (ปริญ คงกระพันธ์, 2551)

### การเกิดพลาสม่า

พลาสม่าเกิดจากการแตกตัวของประจุไฟฟ้าที่มีอยู่ในสารเนื้องจากไดร์บลังงานความร้อนหรือไดร์บลังงานกระตุ้นจากสารเคมีเหล็กไฟฟ้าที่มีพลังงานมากกว่าพลังงานที่ทำให้อะตอนของสารคงรูปอยู่ได้ ทำให้ประจุไฟฟ้าที่มีอยู่ในสารนั้นเกิดการแตกตัวและปลดปล่อยพลังงานออกมายในรูปของพลังงานแสงและพลังงานความร้อน ซึ่งก๊าชในสถานะพลาสม่าจะมีคุณสมบัติในการนำไฟฟ้า และมีความร้อนสูงมาก ถ้าอุณหภูมิของก๊าชสูงประมาณ  $3,500^{\circ}\text{C}$  ในเดลกุลจะแตกตัวเป็นอะตอนเดียวที่อุณหภูมิก๊าช  $40,000^{\circ}\text{C}$  อะตอนจะสูญเสียอิเล็กตรอนเหลือแต่นิวเคลียสที่ไร้อิเล็กตรอน และอิเล็กตรอนอิสระที่รีนิวเคลียส และหากอุณหภูมิของก๊าชสูงถึง  $1,000,000^{\circ}\text{C}$  นิวเคลียสจะแตกออกเป็นอนุภาคเดียวที่มีประจุและมีพลังงานความร้อนสูงจึงเรียกว่า High Energy Particle เช่น สารสถานะพลาสม่าในดาวฤกษ์



ภาพที่ 2-3 การแตกตัวของอิเล็กตรอนจากอะตอมทำให้เกิดพลาสม่า

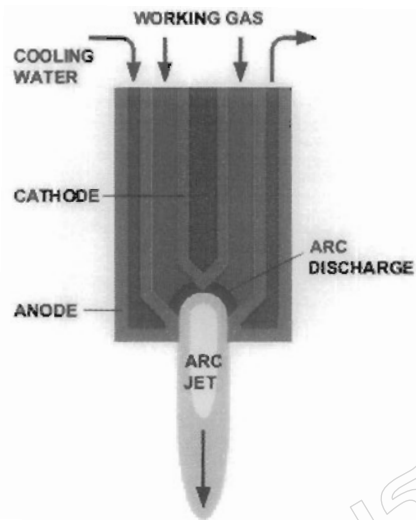
(มหาวิทยาลัยเทคโนโลยีราชมงคล, 2556)

### การสร้างพลาสม่า

การทำให้สารเปลี่ยนสถานะเป็นพลาสมานั้นมีหลายวิธี วิธีสร้างพลาสม่าที่เป็นที่นิยม  
มีดังนี้

#### 1. การกระตุ้นการแตกตัวของไโมเลกุลสารด้วยการอาร์ค

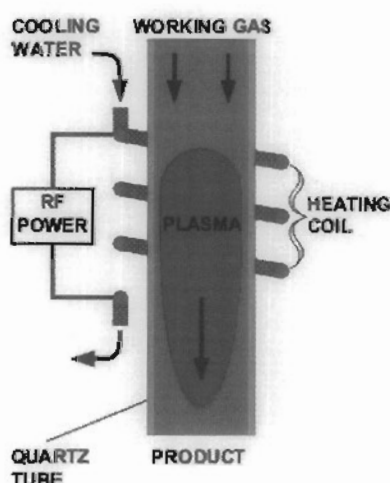
การสร้างพลาสม่าด้วยวิธีนี้เป็นการกระตุ้นการแตกตัวของ Carrier Gas ด้วยการทำให้  
อิเล็กตรอนที่หลุดออกจากการข้าวแคร์โอดเนื่องจากการอาร์คชนกับอนุภาคของ Carrier Gas โดยตรง  
ทำให้เกิดการแตกตัวของอนุภาคดังกล่าวเป็นไออ่อนบวก และอิเล็กตรอนอิสระของก๊าซชนกันนั้น ๆ  
หากการชนมีพลังงานมากพอจะทำให้ก๊าซเปลี่ยนสถานะเป็นพลาสม่า เรียกว่า พลาสมาร์ค



ภาพที่ 2-4 การสร้างพลาสมาจากการอาร์ค (ปริญุ คงกระพันธ์, 2551)

## 2. การให้พลังงานความร้อนบินมาณสูงกับสารสถานะกําช

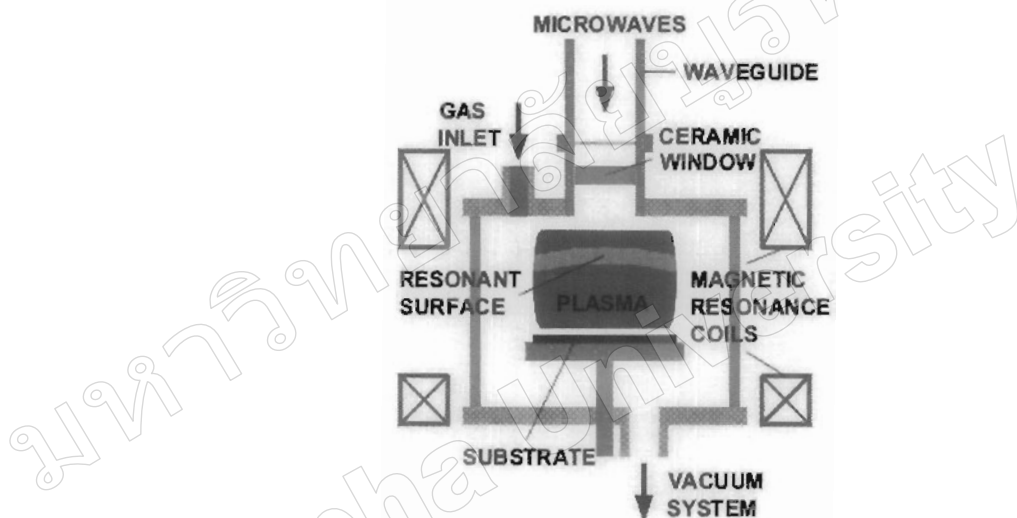
การให้พลังงานความร้อนแก่สารสถานะกําชในปริมาณที่สูงจะทำให้อุณหภูมิของกําชจะสูงขึ้น ซึ่งถ้าพลังงานความร้อนมีมากพอประจุไฟฟ้าจะแยกออกจากตัวของสารได้ประจุลบ (Electron) และประจุบวก (Proton) กระจายตัวออกที่มีความเร็วขึ้นเกือบเท่ากัน ทำให้สารสถานะกําชเปลี่ยนสถานะเป็นพลาสม่า พลาสม่าที่มาจากการให้พลังงานความร้อนนี้จะทำได้ยากเนื่องจากแหล่งความร้อนที่ให้อุณหภูมิสูงพอที่จะทำให้อุ่นของกําชแตกตัวเป็นประจุไฟฟ้ามีน้อย



ภาพที่ 2-5 การสร้างพลาสมาจากการให้พลังงานความร้อนบินมาณสูง (ปริญุ คงกระพันธ์, 2551)

### 3. การกระตุ้นการแตกตัวของโมเลกุลสารด้วยคลื่นแม่เหล็กไฟฟ้า

คลื่นแม่เหล็กไฟฟ้าที่มีความถี่สูงเมื่อกระทบหรือชนกับโมเลกุลของสารจะทำให้โมเลกุลของสารเกิดการสั่น หากการสั่นนั้นมีความรุนแรงมากพอจะทำให้เกิดการแตกตัวของโมเลกุลออกเป็นประจุไฟฟ้าทำให้สารนั้นเปลี่ยนสถานะเป็นพลาสม่า คลื่นแม่เหล็กไฟฟ้าที่นิยมนำมาสร้างพลาสม่า คือ คลื่นในโครเวฟ เนื่องจากเป็นคลื่นแม่เหล็กไฟฟ้าที่มีความถี่สูงสามารถสร้างและควบคุมได้ง่าย การสร้างพลาสมาด้วยคลื่นในโครเวฟนิยมทำกับสารสถานะก๊าซเนื่องจากโมเลกุลของสารสถานะก๊าซแตกตัวได้ง่ายหากเทียบกับสารสถานะอื่น ๆ



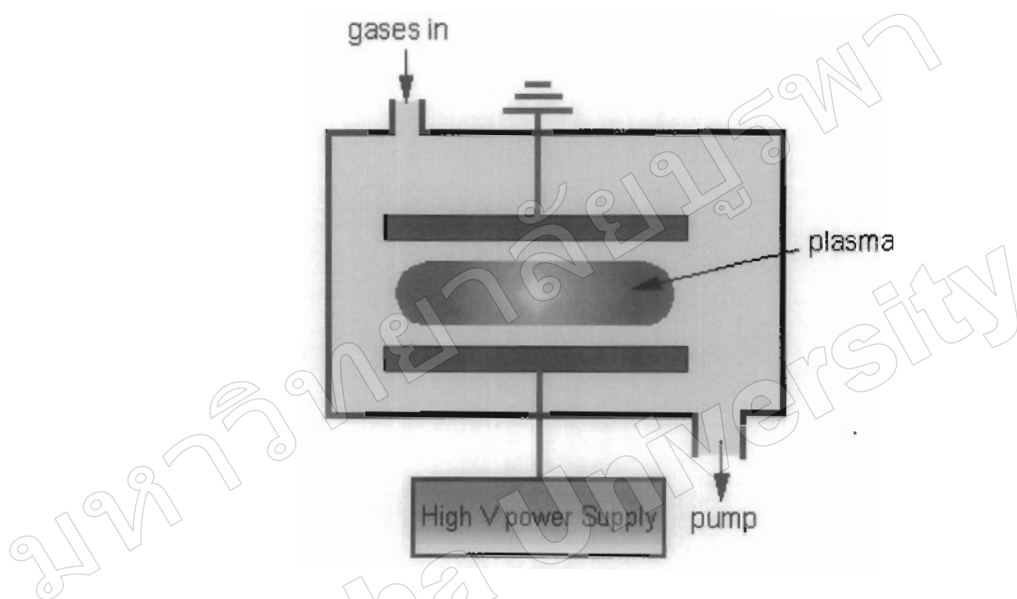
ภาพที่ 2-6 การสร้างพลาสมาจากคลื่นไมโครเวฟ (ปริญ คงกระพันธ์, 2551)

### 4. การกระตุ้นการแตกตัวของโมเลกุลสารด้วยสนามไฟฟ้าแรงสูง

การให้ความต่างศักย์ไฟฟ้าระหว่างขั้วแอนโอด (+) และ ขั้วแคโทด (-) สูงมาก ๆ

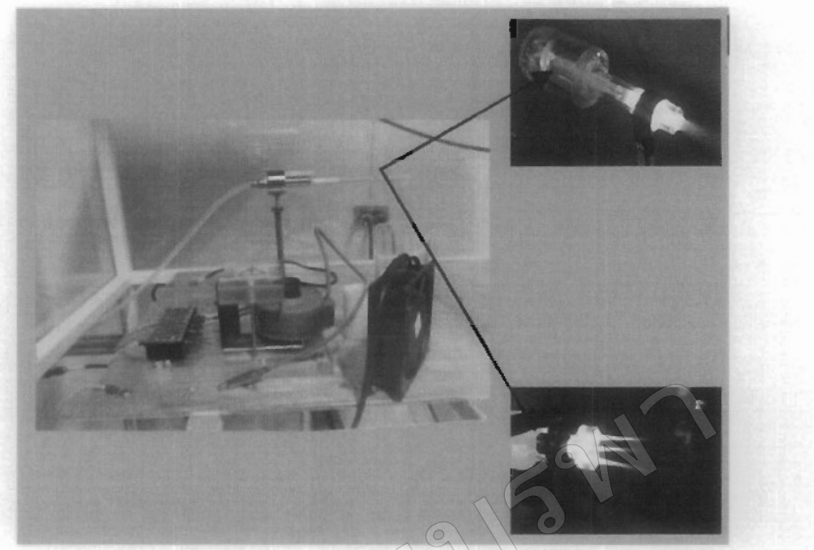
จะเกิดสนามไฟฟ้าแรงสูงทำให้ประจุลบ (Electron) จากขั้วแคโทดแตกตัว และกระแสโคดสู่ขั้วแอนโอด ได้โดยไม่ต้องอาศัยตัวกลางทางไฟฟ้า ปรากฏการณ์นี้เกิดขึ้นได้ในธรรมชาติ เช่น การเกิดฟ้าผ่า เป็นต้น การที่ประจุลบแตกตัวออกจากโลหะที่ใช้ทำขั้วแคโทดทำให้เกิดพลาสมាខี่เรียกว่า พลาสมาโลหะ (Iron Plasma) ซึ่งเป็นพลาสมากวนิดำนีองจากโลหะเป็นของแข็งที่มีการจับตัวกันของอะตอมเป็นพันธะ โลหะมีแรงยึดเหนี่ยวระหว่างอะตอมสูงจึงทำให้ประจุลบแตกตัวออกจากอะตอมได้ยาก และมีปริมาณการแตกตัวน้อย แต่ถ้ามีการปล่อยก๊าซผ่านสนามไฟฟ้าแรงสูงดังกล่าว โมเลกุลของก๊าซจะถูกชนด้วยประจุลบที่แตกตัวออกจากโลหะที่ใช้ทำขั้วแคโทดจนโมเลกุล

ของก๊าซแต่ก็ตัวออกเป็นพลาสมานองก๊าชนิดนี้ ทำให้ได้ความร้อนจากการแตกตัวสูงขึ้นมาก  
เนื่องจากโมเลกุลของก๊าซแต่ก็ตัวได้จ่าย และหากมีความเข้มของสนามไฟฟ้าสูงมากพอโมเลกุล  
ของก๊าซก็จะแตกตัวเกือบทั้งหมด ในกรณีของก๊าซที่นำมาย่างผ่านสนามไฟฟ้าแรงสูงคงกล่าวเป็น  
ก๊าซเชื้อเพลิงด้วยแล้ว หากโมเลกุลของก๊าซเชื้อเพลิงแตกตัวเป็นประจุไม่หมดโมเลกุลของก๊าซ  
ที่ไม่แตกตัวเป็นพลาสมาก็จะเกิดการสันดาปขึ้นด้วยความร้อนที่ได้จากการแตกตัวของโมเลกุลอื่น  
ทำให้ได้อุณหภูมิไอร้อนที่เพิ่มขึ้น



ภาพที่ 2-7 การสร้างพลาสมาจากสนามไฟฟ้าแรงสูง (ปริญ คงกระพันธ์, 2551)

ก๊าซที่สามารถนำมาจุดพลาสมานในความดันบรรยากาศนั้นมีได้หลายชนิด โดยมักใช้ ก๊าซ อาร์กอนหรืออีเดียมเป็นก๊าชหลัก เพื่อทำหน้าที่เป็นก๊าชนำพาเพื่อช่วยในการจุดพลาสมา และทำให้ พลาสมานั้นมีความสม่ำเสมอ โดยก๊าชแต่ละชนิดจะถูกควบคุมด้วยระบบควบคุมการจ่าย และผสม ก๊าชก่อนที่จะถูกส่งเข้าสู่ห้องกำเนิดพลาสมา (สมศักดิ์ แคลงทิพย์, 2552)



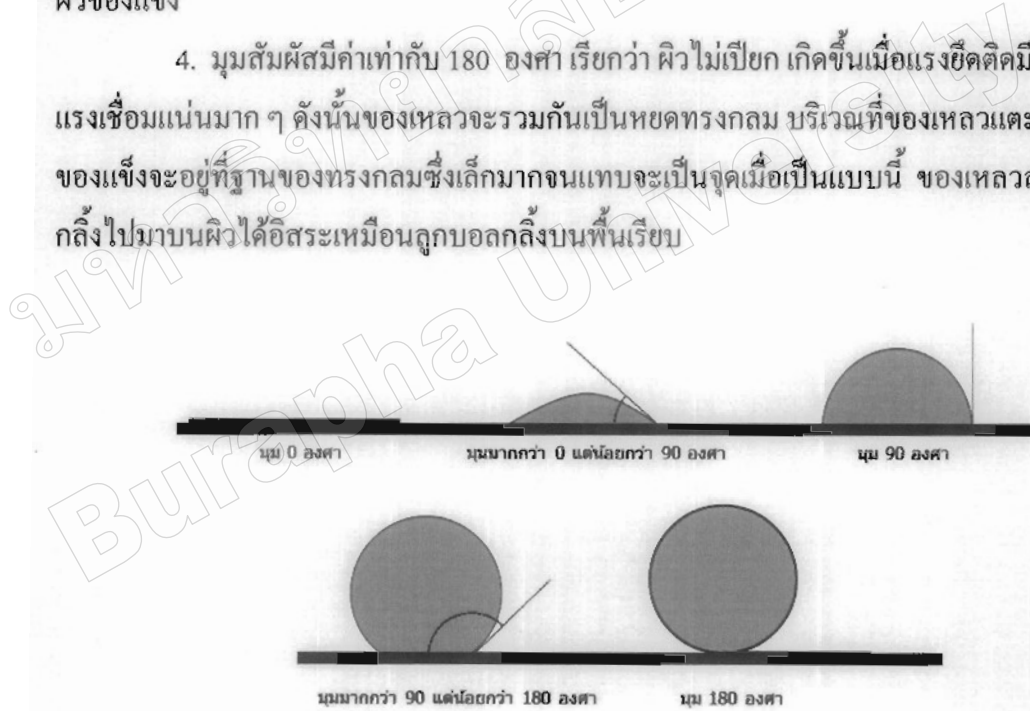
ภาพที่ 2-8 ระบบผลิตพลาสมาระดับนาโน : Plasma Jet  
(ศูนย์ความเป็นเลิศด้านฟิสิกส์, 2556)

### สมบัติความชอบน้ำ และไม่ชอบน้ำ (Hydrophilic and Hydrophobic Property)

สมบัติความชอบน้ำ คือ น้ำเป็นชนิดพื้นผิวได้อย่างสมบูรณ์เมื่อมีน้ำตกลงที่พื้นผิวจะเกิดเป็นชั้นน้ำบาง ๆ อยู่บนพื้นผิว สภาพชอบน้ำเป็นสมบัติอย่างหนึ่งที่สำคัญของกระดาษทำความสะอาดด้วยตนเอง โดย พรนภา สุจิตรารุต (2548) ได้อธิบายไว้ว่าเมื่อไห้เทเนียมไดออกไซด์ถูกกระตุ้นด้วยแสงอัลตราไวโอเลต (Ultraviolet) จะทำให้น้ำที่เกาะบนพื้นผิวไห้เทเนียมไดออกไซด์ไม่สามารถคงตัวอยู่เป็นหยดน้ำได้แต่จะกระจายเป็นฟิล์มบาง ๆ ปกคลุมผิวอย่างสนิทเสนอคล้ายแผ่นกระดาษบางใส่จึงช่วยทำให้กระดาษนั้นแห้งได้อย่างรวดเร็ว โดยไม่ทิ้งรอยหรือคราบสกปรกให้เห็นหลังจากแห้งเหมือนกับกระดาษปกติ ส่วนใหญ่ให้กระดาษไม่เป็นฝ้าบัวเนื่องจากมุนสัมผัสระหว่างหยดน้ำกับกระดาษที่เคลือบด้วยฟิล์มไห้เทเนียมไดออกไซด์ มีค่าต่ำมากจนกระทั่งเป็นศูนย์ ที่เรียกว่าสภาพชอบน้ำอย่างยิ่งขวด (Super-Hydrophilic) เมื่ออยู่ภายใต้แสงอัลตราไวโอเลตเป็นเวลานานซึ่งโดยปกตินั้นผิวของกระดาษมีความชื้นในอากาศมาสัมผัสถึงจะเกิดเป็นหยดน้ำเล็กๆ จำนวนมากน่าจะได้ง่ายทำให้เกิดเป็นฝ้าบัว และโดยทั่วไปแล้วมุนสัมผัสระหว่างหยดน้ำกับผิวของกระดาษค่าอยู่ที่ประมาณ 20-30 องศา ในการพิจารณาการเปียกของของเหลวบนผิวของแข็งสภาพสมดุลของแรงดึงแรงดันนำไปสู่ปริมาณที่สำคัญอีกปริมาณหนึ่งที่นิยมใช้วัดความเปียกที่เรียกว่า มุนสัมผัส (Contact Angle) คือมุนระหว่างหยดน้ำของเหลววัดเทียบกับผิวสัมผัสดู ณ จุดที่ผิว

ทั้งสองภาคติดกัน และนักวิทยาศาสตร์ใช้มันเป็นเกณฑ์แบ่งการเปียกของเหลวบนของแข็งว่า เปียกได้ดีหรือไม่ดี เกณฑ์มีดังนี้

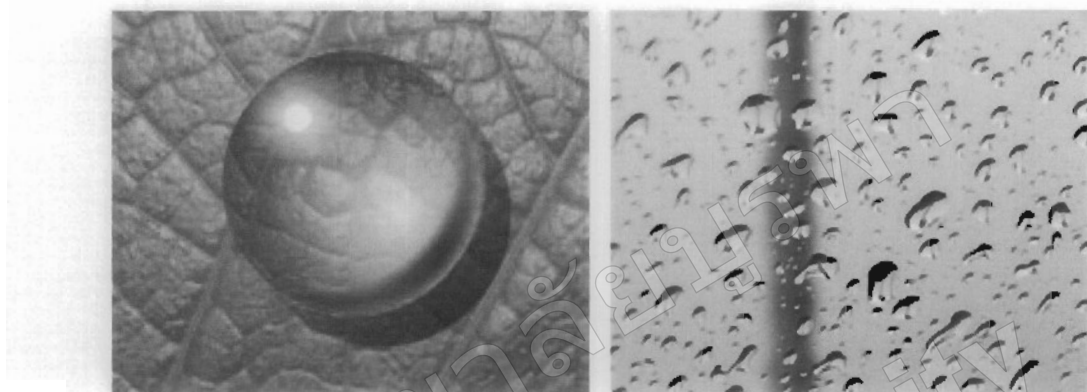
1. มุมสัมผัสเท่ากับ 0 องศา คือการเปียกอย่างสมบูรณ์ ซึ่งเป็นกรณีที่แรงยึดติด (Cohesive Forces) มีค่ามากกว่าแรงเชื่อมแน่น (Adhesive force) มาก ๆ เมื่อของเหลวถูกหยอดบนผิวของเหลวจะระจายไปตามผิวของของแข็งจนกลายเป็นชั้นของเหลวบาง ๆ คลุมพื้นผิวของของแข็งเป็นบริเวณกว้างที่สุด
2. มุมสัมผัสมีค่าระหว่าง 0 ถึง 90 องศา คือ เกิดการเปียกได้ดี ของเหลวจะระจายไปบนผิวได้เป็นบริเวณกว้าง แต่ก็ยังคงเกาะกันเป็นหยดน้ำขึ้นเล็กน้อยจากผิวของของแข็ง
3. มุมสัมผัสมีค่าตั้งแต่ 90 องศา แต่ไม่ถึง 180 องศาเรียกว่าผิวเปียกยาก คือของเหลวจะรวมกันเป็นหยดครุปทรงค่อนข้างกลมจะมีบริเวณเล็ก ๆ ที่ฐานของหยดที่ของเหลวยังคงเกาะกันผิวของแข็ง
4. มุมสัมผัสมีค่าเท่ากับ 180 องศา เรียกว่า ผิวไม่เปียก เกิดขึ้นเมื่อแรงยึดติดมีค่าน้อยกว่าแรงเชื่อมแน่นมาก ๆ ดังนั้นของเหลวจะรวมกันเป็นหยดทรงกลม บริเวณที่ของเหลวแตะกันผิวของแข็งจะอยู่ที่ฐานของทรงกลมซึ่งเล็กมากจนแทนจะเป็นจุดเมื่อเป็นแบบนี้ ของเหลวสามารถกลิ้งไปมาบนผิวได้อิสระเหมือนถูกบลอกลิ้งบนพื้นเรียบ



ภาพที่ 2-9 การเปียกและมุมสัมผัสด้วยกัน ๆ (บทความวิชาการคอกอน, 2555)

สมบัติความไม่ชอบน้ำ คือ พื้นผิวไม่เปียก เกิดขึ้นเมื่อแรงยึดติดมีค่าน้อยกว่าแรงเชื่อมแน่นมาก ๆ ดังนั้นของเหลวจะรวมกันเป็นหยดทรงกลมบริเวณที่ของเหลวแตะกันผิวของแข็งจะอยู่ที่ฐานของทรงกลมซึ่งเล็กมากจนแทนจะเป็นจุด ถ้าพิจารณาแนวโน้มศุนย์หนึ่งขณะที่นำแกะอยู่

บนผิวของของแข็งจะเกิดสภาพสมดุลของแรงยึดติดและแรงเชื่อมแน่น ถ้าแรงยึดติดมีค่ามากกว่าแรงเชื่อมแน่นอย่างมากน้ำจะกระจายแบบติดบนผิวของของแข็งในที่สุด ในทางตรงข้ามถ้าแรงยึดติดนีค่าน้อยกว่าแรงเชื่อมแน่นมาก ๆ น้ำจะไม่เกาะแต่จะหลุดออกจากผิวแล้วรวมกันเป็นหยดกลิ้งไปมาได้บนผิวของของแข็งเหมือนกับหยดน้ำบนใบบัว



(a) ของเหลวในสภาพหยด

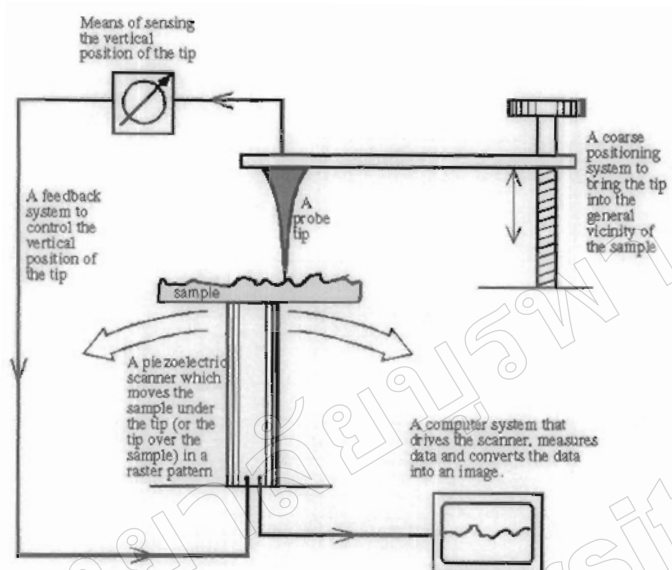
(b) ของเหลวในสภาพแผ่กระจาย

ภาพที่ 2-10 รูปร่างของของหยดน้ำบนพื้นผิวต่างกัน (บทความวิชาการคอม, 2555)

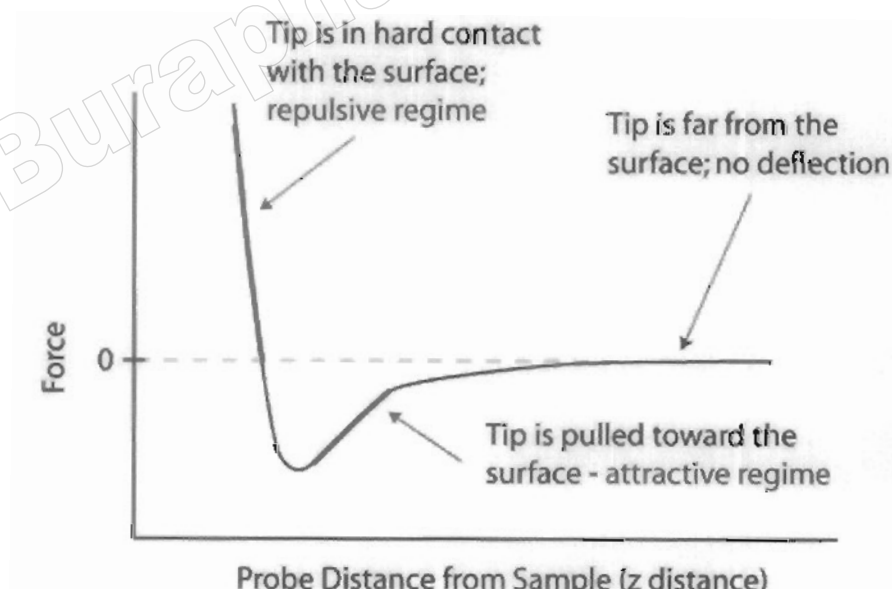
### การศึกษาลักษณะพื้นผิว

ลักษณะพื้นผิว และความหนาของวัสดุ เทคนิคที่นิยมใช้ในการศึกษาความหนา และลักษณะพื้นผิวของวัสดุในระดับนาโน คือ Atomic Force Microscopy (AFM) ซึ่ง จตุพร วุฒิกนกภานุณ (2542) ได้อธิบายหลักการทำงานของเครื่อง AFM ไว้ดังนี้ เทคนิค Atomic Force Microscopy เป็นการสร้างภาพของผิววัสดุจากแรงกระทำระหว่างผิววัสดุกับตัวตรวจวัดที่ทำการเข้มขนาดเล็ก (Probe Tip) และเป็นเทคนิคหนึ่งในกลุ่มของ Scanning Probe Microscopy (SPM) ซึ่งเป็นกลุ่มเทคนิคที่สามารถใช้ในการศึกษาสภาพพื้นผิวของวัสดุประเภทต่าง ๆ ได้ หลักการพื้นฐานคือ การใช้เข็มตรวจวัดขนาดเล็กที่ทำการซิลิโคนในไตรด์ (Silicon Nitride,  $\text{Si}_3\text{N}_4$ ) เคลื่อนที่กราด (Scan) ไปทั่วบริเวณต่าง ๆ ของผิววัสดุ โดยมีตัวเพิบโซอิเล็กทริก สแกนเนอร์ (Piezoelectric Scanner) เป็นตัวควบคุม สภาพผิวที่แตกต่างกันไปจะก่อให้เกิดการเปลี่ยนแปลงกับเข็มตรวจวัดแตกต่างกันไป โดยตัวค่านี้เข้มกำลังติดอยู่จะมีการโค้งงอ (Bending) ปริมาณการโค้งงอนี้สามารถตรวจวัดได้โดยใช้โฟโตเดกเตอร์ (Photo Detector) ดังภาพที่ 2-11 ภาพที่ได้จากการนี้จะแสดงค่าลักษณะพื้นผิวในแต่ละบริเวณที่ตรวจสอบ ในเทคนิค AFM นี้

สิ่งที่ทำให้คานที่มีเข็มเกาะอยู่เกิดการโถ้งงอขึ้นก็คือ แรงกระทำระหว่างอะตอม ซึ่งอาจจะเป็นแรงดึงดูดหรือแรงผลักก์ได้ขึ้นอยู่กับระยะห่างระหว่างเข็มปลายแหลมกับพื้นผิว ดังแสดงในภาพที่ 2-12



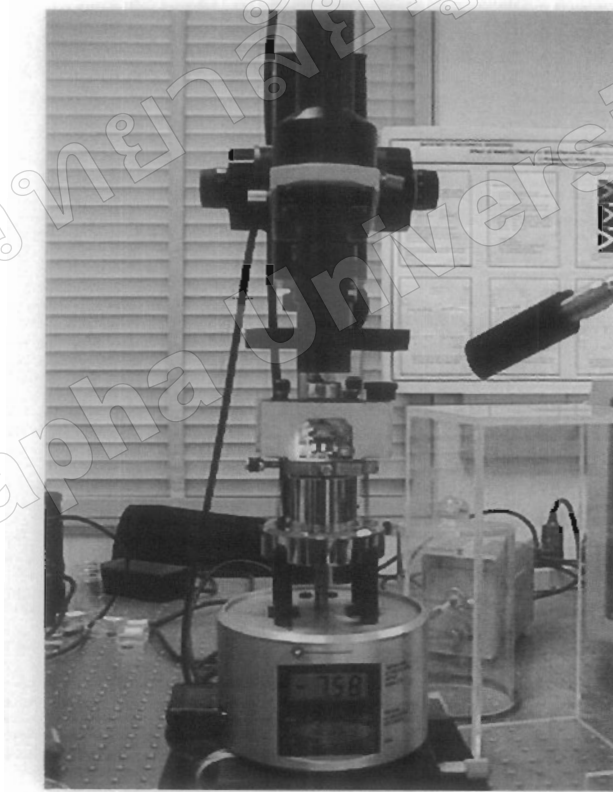
ภาพที่ 2-11 องค์ประกอบหลักของเครื่องมือ Scanning Probe Microscope  
(POLITECNICO DI TORINO, 2007)



ภาพที่ 2-12 ลักษณะของแรงกระทำระหว่างอะตอมที่เกิดขึ้นในระบบห่างระหว่างวัสดุต่างๆ  
(Nano Science Instruments, 2013)

เทคนิค AFM สามารถแบ่งได้หลายวิธีตามลักษณะการเก็บข้อมูล ซึ่งจะได้กล่าวถึงในหัวข้อต่อไป อย่างไรก็ตาม ไม่ว่าจะเป็นการใช้ AFM วิธีใด แรงกระทำที่เกิดขึ้นจะมีการเปลี่ยนแปลงไปตามสภาพพื้นผิว (Topography) ของวัสดุ

ภาพที่ 2-13 แสดงให้เห็นถึงเครื่อง Atomic Force Microscope รุ่น NanoScope IIIa บริเวณตรงกลางเป็นบริเวณที่ใช้วางชิ้นงาน โดยมีเข็มวัดวางอยู่ด้านบน ส่วนที่บริเวณด้านบนของเครื่องมือจะมีกล้องจุลทรรศน์วิดีโอ (Video Microscope) ติดตั้งไว้ เพื่อใช้สำหรับดูคุณภาพแห่งของเข็มที่จะทำการวางลงบนบริเวณต่าง ๆ บนพื้น ภาพที่ได้จากกล้องจุลทรรศน์วิดีโอนี้จะแสดงทางจอโทรทัศน์ นอกเหนือในบริเวณด้านบน จะมีแหล่งกำเนิดแสงเลเซอร์และไฟโตเดกเตอร์ที่ใช้วัดการโค้งงอของคานยื่น



ภาพที่ 2-13 เครื่อง AFM แบบ Multimode (The Ohio State University, 2006)

ลักษณะการเก็บข้อมูลด้วยเทคนิค AFM สามารถใช้เก็บข้อมูลได้ 4 ลักษณะ (Mode) ที่สำคัญดังนี้คือ

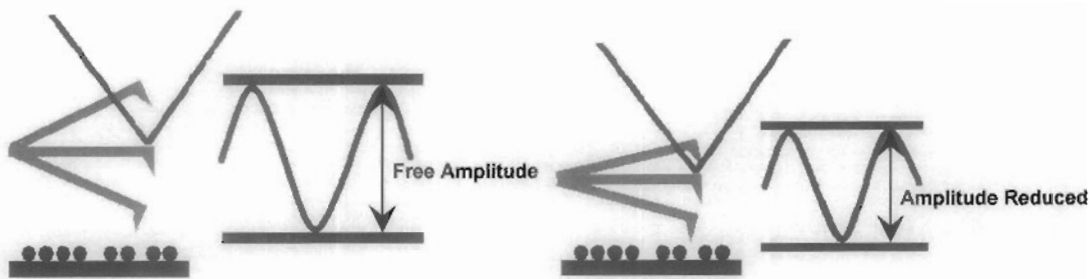
1. Contact Mode เป็นการศึกษาสภาพผิวชิงงานโดยการยับให้เข้ามายก (Slide) ไปบนผิวงานซึ่งจะทำให้มีแรงผลักเกิดขึ้น เนื่องจากเข้มกับผิวงานจะอยู่ใกล้กันมาก แรงผลักนี้ จะเปลี่ยนแปลงไปตามสภาพผิว ซึ่งจะทำให้มีการโกร่งงอ (Deflection) ของคานยื่น (Cantilever) ที่มีเพื่อยืดเคาระอยู่ที่ปลาย โดยปริมาณการโกร่งจะเปลี่ยนแปลงสอดคล้องเป็นไปตามลักษณะของผิวงาน

อย่างไรก็ตาม เทคนิคแบบ Contact Mode นี้มีข้อเสียคือ การลากให้เข้ามตรวจสอบเคลื่อนที่ ไม่ถูกข้ามไปยังบริเวณต่าง ๆ บนผิวงาน อาจจะทำให้พื้นผิวสัตุที่กำลังศึกษาต่างไปจากสภาพเดิม ที่แท้จริง หรืออาจเกิดความเสียหายขึ้นแก่ผิวงานได้ ยกตัวอย่างเช่น ภายใต้สภาพบรรยายกาศปกติ ซึ่งมีอากาศและความชื้นในอากาศ อาจจะเกิดหยดน้ำหรือสิ่งสกปรกบนผิวงาน ซึ่งเมื่อยืดเคาระเคลื่อนที่ไปสัมผัสกับผิวที่มีชั้นบาง ๆ ของหยดน้ำและสิ่งสกปรกตั้งกล่าว จะทำให้มีแรงดึงไฟฟ้า สถิตและแรงตึงผิวดึงให้ตัวคนที่มีเข้มยืดอยู่ที่ปลายเคลื่อนที่ลงมาสัมผัสกับชั้นดังกล่าว ทำให้แรงระหว่างเข้มกับผิวงานที่เกิดขึ้นโดยรวมเปลี่ยนแปลงไป นอกจากนี้ ยังอาจทำให้ผิวงานถูกทำลาย เช่น เกิดการฉีกขาดจากการลากเข้าไปบนผิวงาน

2. Non-Contact Mode เพื่อที่จะหลีกเลี่ยงปัญญาดังกล่าวข้างต้น จึงได้มีการพัฒนา เทคนิคแบบ Non-Contact Mode ขึ้นมา โดยในที่นี้ ตัวเข้มปลายแหลมจะถูกยกขึ้นมาให้มีระยะห่าง เหนือผิวงานสูงมากขึ้น คือประมาณ  $10-100 \text{ } \mu\text{m}$  จึงไม่มีปัญญาเรื่องการทำลายโครงสร้างผิวงาน โดยในการนี้ แรงกระทำระหว่างตัวคนที่มีเข้มปลายแหลมยืดเคาระอยู่กับผิวงานจะเป็นลักษณะ แรงดึงดูด ซึ่งจะเปลี่ยนแปลงไปตามรูปทรงของสภาพผิวงาน เช่นเดียวกัน

วิธีนี้มีข้อจำกัดเกี่ยวกับความละเอียดของภาพที่เกิดขึ้น นั่นคือ แรงดึงดูดประเภท แวนเดอร์วัลส์ (Van Der Waals) ที่เกิดขึ้นในการนี้จะเป็นแรงที่อ่อนกว่าเมื่อเทียบกับแรงผลัก ที่เกิดขึ้นในการนี้ของ Contact Mode ดังนั้น การตรวจสอบอาจจะไว (Sensitive) ต่อสิ่งแปลงปลอม ที่อยู่บนผิวงาน เช่น หยดน้ำที่เกาะอยู่บนผิว

3. Tapping Mode เป็นเทคนิคที่รวมเอาลักษณะของการวัดทั้งในแบบของ Contact Mode และ Non-Contact Mode เข้าด้วยกัน กล่าวคือ ยังคงให้มีการสัมผัสกันระหว่างเข้มกับผิวงาน ในระยะที่ใกล้กันมาก เมื่ອันกับกรณีของ Contact Mode เพื่อให้เกิดภาพที่ชัดเจน ในขณะเดียวกัน ก็ยังมีการสั่นหรือขับเข็มปลายแหลมให้เคลื่อนที่ขึ้นลงไปพร้อม ๆ กับการเคลื่อนที่สแกนไปยัง บริเวณต่าง ๆ บนผิวงาน ดังนั้นจึงเป็นการหลีกเลี่ยงปัญหาการลากไถลเข้มปลายแหลม ซึ่งจะทำให้ เกิดการทำลายสภาพของผิวงานได้ เมื่อใน Contact Mode



ภาพที่ 2-14 ลักษณะการสั่นของคานที่มีเข็มติด (Akari, 2001)

ภาพที่ 2-14 แสดงการสั่นของคานในสภาพอิสระหรือตอนเริ่มต้นที่ยังไม่เกิดการสัมผัส และขั้นเคลื่อนที่ไปบนผิวงาน จะเห็นได้ว่าแอมเพลิจูดจะยังสูงอยู่เมื่อเทียบกับแอมเพลิจูดที่เกิดจาก การสั่นของคานเมื่อมีการแตะตืมผ้า (Tapping) ลงบนผิวงาน เนื่องจากในการสัมผัสกันนั้นจะมีการ สูญเสียพลังงานของการสั่น ทำให้แอมเพลิจูดของการสั่น (Oscillation Amplitude) ลดลง ซึ่งค่าที่ลดลงนี้จะใช้เป็นตัววัดและบอกถึงลักษณะของสภาพพื้นผิวที่มีความสูงต่ำแตกต่างกันไป ตัวอย่างเช่น เมื่อเข้มตรวจวัดเคลื่อนที่ผ่านบริเวณผิวงานที่มีความนูนสูงขึ้นมา ตัวคานก็จะมีพื้นที่ หรือแอมเพลิจูดในการสั่นลดลง ในทางตรงข้าม เมื่อเข้มปลา yal แหลมเคลื่อนที่ผ่านบริเวณผิวที่มี การบุบตัวหรือมีความลึกลงไป ตัวคานก็จะมีพื้นที่ในการสั่นเพิ่มขึ้น และมีแอมเพลิจูดสูงขึ้น (เข้าใกล้แอมเพลิจูดสูงสุดในสภาพที่ยังไม่มีการทำการสแกน) แอมเพลิจูดของการสั่นที่เปลี่ยนแปลง ไปก็จะถูกวัดโดยแอมเพลิจูดเดกเตอร์ (Amplitude Detector) แล้วส่งผลเข้าไปยังตัวควบคุม ซึ่งจะทำการวัดสัญญาณพร้อมทั้งปรับระยะระหว่างเข็มกับผิวงาน เพื่อรักษาให้ค่าแอมเพลิจูด ของการสั่นให้คงที่ต่อไป จนกว่าจะมีการเปลี่ยนแปลงของแอมเพลิจูดของการสั่นตามสภาพพื้นผิว ในบริเวณลัดไป

4. Force Modulation Mode สำหรับพื้นผิวของวัสดุที่มีองค์ประกอบหลายเฟส พนวจ เทคนิค AFM ในวิธีแบบ Force Modulation Mode จะเป็นที่นิยมใช้มาก โดยเทคนิคนี้จะเป็นการวัด และสร้างภาพของพื้นผิวชิ้นงานที่มีความแตกต่างของความแข็งแกร่ง (Stiffness) ในแต่ละเฟสสูง โดยในกรณีนี้ตัวเข็มจะสแกนไปในลักษณะที่มีการสั่นในแนวตั้งจากกับผิววัสดุด้วยแอมเพลิจูด เล็กน้อย แต่จะมีความเร็วในการสั่นที่สูงกว่าการเคลื่อนที่สแกนของเข็ม และเมื่อตัวเข็มถูกนำเข้ามา แตกสัมผัสกับผิววัสดุก็จะเกิดแรงต่อต้านจากผิวของวัสดุที่เกิดจากการสั่นและทำให้ตัวคานงอ และถ้าหากว่าเราให้แรงที่ทำให้ตัวคานสั่นคงที่ พื้นผิวบริเวณที่แข็งกว่าจะทำให้เกิดการต่อต้าน

ต่อการสั่นในแนวตั้งของตัวคานมากกว่า และจึงทำให้ตัวคานมองมากกว่า ดังนั้น การเปลี่ยนแปลงของแอมเพลจูดที่เกิดจากการโกร่งของตัวคานจึงนำมาใช้วัดเปรียบเทียบความแข็งที่บริเวณต่าง ๆ ของผิวงาน

หลักการของวิธี Tapping Mode กับ Force Modulation Mode คล้ายกันที่มีการสั่นของเพิ่มในแนวตั้งพร้อมกับมีการสแกนไปบนผิวชิ้นงาน อย่างไรก็ตามทั้ง 2 เทคนิค จะมีความต่างกัน คือ ในกรณี Force Modulation Mode จะสั่นด้วยความเร็วสูงกว่า (สูงกว่าความเร็วในการสแกน) และการวัดแอมเพลจูดที่เกิดจากการบิดของคาน เป็นการวัดเนื้อจากผลของการสั่น เมื่อมีการสัมผัสของเข็มกับผิวงานในขณะที่ Tapping Mode จะเป็นการวัดการเปลี่ยนแปลงแอมเพลจูดของการสั่นของคานที่เปลี่ยนแปลงไป (ลดลง) เมื่อมีการสูญเสียพลังงานไป เมื่อมีการสัมผัสผิวงานที่มีระดับความสูงคำนึงต่อกัน

### งานวิจัยที่เกี่ยวข้อง

ส่วนนี้เป็นเอกสารและงานวิจัยที่เกี่ยวข้องกับการศึกษาพลาสติกกระบวนการด้านบรรษัทศาสตร์เพื่อใช้ในการปรับสภาพพื้นผิววัสดุ โดยจะเน้นในส่วนของเงื่อนไขที่ใช้ในการปรับสภาพพื้นผิวของวัสดุ การเปลี่ยนแปลงถัณฑ์วิทยาของวัสดุภายหลังการปรับสภาพพื้นผิวด้วยพลาสติกแล้ว และผลของระยะเวลาต่าง ๆ ภายหลังการปรับสภาพพื้นผิวด้วยพลาสติกที่มีต่อมุนต้มผิวของหยดน้ำกับวัสดุรองรับ โดยมีรายละเอียดดังนี้

Kim et al. (2003) ได้ทำการศึกษาการปรับสภาพขอบน้ำของพื้นผิวสแตนเลส (stainless steel) ด้วยพลาสติกกระบวนการด้านบรรษัทศาสตร์จากเก๊อสไน โทรเจน และออกซิเจน บริสุทธิ์ 99.99% ภายใต้เงื่อนไขที่ดีที่สุด คือ ระยะห่างระหว่างหัวฉีดเจ็ทกับวัสดุ 5 mm และอัตราเร็วของการเคลื่อนที่ของหัวฉีดเจ็ท 10 mm/s พนว่า มุมสัมผัสของหยดน้ำบนพื้นผิวสแตนเลสหลังปรับสภาพมีค่าน้อยลงอย่างมากเมื่อเทียบกับก่อนปรับสภาพ แสดงว่าพลังงานพื้นผิว (Surface energy) ของสแตนเลสเพิ่มขึ้นหลังการปรับสภาพ และจากผลของ XPS และ AFM ทำให้ทราบถึงหมุนฟังก์ชันหลักที่ทำให้เกิดการเปลี่ยนแปลงสภาพขอบน้ำของพื้นผิวสแตนเลส ซึ่งเกิดจากปฏิกิริยาการกัดกร่อน และออกซิเดชัน ของอนุภาคที่มีประจุ และชนิดของอนุภาคในพลาสติก และจากการวัดมุมสัมผัสของหยดน้ำบนพื้นผิวของสแตนเลสหลังการปรับสภาพภายใต้เงื่อนไขที่ดีที่สุด และความชื้นสัมพัทธ์ 64% พนว่า เมื่อเวลาหลังการปรับสภาพเพิ่มมากขึ้นมุมสัมผัสของหยดน้ำกับพื้นผิวสแตนเลสเมื่อเพิ่มมากขึ้นในเวลา 15 hr ซึ่งแสดงให้เห็นระยะเวลาในการรักษาสภาพขอบน้ำของสแตนเลสซึ่งจะมีประโยชน์ในการนำไปใช้งานด้านอุตสาหกรรมต่อไป

Kim, Yang, Boo, and Han (2003) ได้ทำการปรับสภาพพิว และลักษณะเฉพาะของพื้นผิว โลหะชนิด Al, SUS และ Cu ด้วยพลาสma เจ็ทระบบความดันบรรยายจากแก๊สในไตรเจน และออกซิเจน ทดลองภายใต้ความดันบรรยายกาศ และอุณหภูมิห้อง เมื่อกำหนดระยะห่างหัวฉีดเจ็ทกับวัสดุ และความเร็วของหัวฉีดเจ็ทที่ค่าต่าง ๆ กัน วิเคราะห์ผลโดยการวัดมุมสัมผัสของหยดน้ำบนพื้นผิวของหยดน้ำกับโลหะ XPS, FE-SEM, OES และ AFM พบว่า อัตราเร็วของหัวฉีด 5 mm/s และระยะห่างระหว่างหัวฉีดเจ็ทกับวัสดุอยู่รับ 10-20 mm ทำให้มุมสัมผัสของหยดน้ำบนพื้นผิวของโลหะมีค่าต่ำที่สุดอยู่ในช่วง 2°-8° จากผลของการวิเคราะห์ XPS, FE-SEM, OES และ AFM จะแสดงให้เห็นถึงปรากฏการณ์ที่เกิดขึ้นบนพื้นผิวของโลหะที่ทำให้พลังงานพื้นผิวมีค่าเพิ่มขึ้น เมื่อวัดความคงทนของคุณสมบัติพื้นผิวโดยการวัดมุมสัมผัสของหยดน้ำบนพื้นผิวโลหะที่ปรับสภาพพื้นผิวด้วยพลาสma เจ็ทภายใต้สภาวะที่เหมือนสมเมื่อเวลาหลังการปรับสภาพผ่านไปเป็นเวลาต่าง ๆ ที่สภาพแวดล้อมห้องทดลอง ความชื้นสัมพัทธ์ 64% พบว่า มุมสัมผัสระหว่างหยดน้ำกับพื้นผิวโลหะจะเพิ่มขึ้นในช่วงเวลาสั้น ๆ ประมาณ 15 hr

Cheng et al. (2006) มีการศึกษาพิวของเส้นไฟฟ้าลิมอร์โดยการทำพลาสma เจ็ทวิธีใหม่ ที่ความดันบรรยายกาศ พบร่วมอุณหภูมิของพลาสma ที่ได้อยู่ในช่วง 25-30 °C ซึ่งความร้อนในช่วงดังกล่าวสามารถทำการปรับปรุงเฉพาะที่ผิวของวัสดุของไฟฟ้าลิมอร์โดยไม่ทำให้ส่วนลัดไปจากผิว เกิดความเสียหายได้ โดยทั่วไปการเกิดพลาสma ภายใต้บรรยายกาศปกติจะเกิดความร้อนค่อนข้างสูง กว่าชั้งอุณหภูมิอยู่ในช่วง 50-300 °C และพบว่าความขาวของพลาสma เจ็ทมีความสัมพันธ์กับอัตราการไหลของแก๊ส เมื่ออัตราการไหลของแก๊สเพิ่มขึ้นความขาวของพลาสma เจ็ทก็เพิ่มขึ้นตามด้วย แต่ยังไหร่ความขาวของพลาสma เจ็ทขึ้นอยู่ในระดับมิลลิเมตร และเมื่อศึกษาอัตราการไหลของอากาศตั้งแต่ 2-5 slm ของพลาสma เจ็ทระบบความดันบรรยายกาศ พบร่วมพลาสma เจ็ทมีความขาวสูดที่เท่ากับ 15 mm ที่อัตราการของอากาศเท่ากับ 5 sml ภายใต้ความต่างศักย์ไฟฟ้าประมาณ 4.89 kV

Zhiqiang et al. (2009) ได้ศึกษาผลของเวลาที่ใช้พลาสma เจ็ทระบบความดันบรรยายกาศในการเปลี่ยนแปลงพิวของฟิล์มโพลีเอไมด์ 6 (Polyamide 6 Films) ซึ่งทำให้เกิดพลาสma โดยใช้แก๊ส ไฮเดรน (He) กับการบอนเตตระฟลูออไรด์ ( $CF_4$ ) พบร่วมเมื่อเวลาที่ใช้ในการเปลี่ยนแปลงพิวซึ่ง ฟิล์มเพิ่มมากขึ้น มนุสัมผัสระหว่างหยดน้ำกับพื้นผิวของฟิล์มจะลดลงหลังจากนี้จะเพิ่มขึ้น แสดงว่าอัตราการกัดกร่อนลดลงเมื่อเวลาที่ใช้ในการเปลี่ยนแปลงพิวของฟิล์มเพิ่มมากขึ้น ในทางตรงกันข้ามคุณสมบัติความด้านทานในการลอกจะเพิ่มขึ้นในตอนแรก แล้วลดลงในตอนหลังแสดงให้เห็นถึงสมบัติการยึดติดของพื้นผิว (Adhesion Properties) ผลของการวิเคราะห์ด้วยเทคนิค AFM แสดงให้เห็นถึงพื้นผิวของฟิล์มที่ขรุขระมากขึ้นหลังจากเปลี่ยนแปลงพิวด้วยพลาสma

และจากผลของการวิเคราะห์ด้วยเทคนิค XPS แสดงให้เห็นถึงสายของพอลิเมอร์ที่เกิดจากอัตโนมัติของฟลูออรีน และหรือออกซิเจนบนพื้นผิวของฟิล์ม

Zhiqiang (2011) มีการศึกษาอิทธิพลของระดับห่างระหว่างวัสดุกับหัวจี้ระบบพลาสมา เจ็ทที่ความดันบรรยากาศที่มีผลต่อพื้นผิว PA 6 โดยใช้แก๊สพลาสma เป็นแก๊สชีเลี่ยมกับออกซิเจน ซึ่งแสดงให้เห็นว่าระดับห่างระหว่างวัสดุกับหัวจี้มีผลต่อการปรับสภาพพื้นผิว PA 6 คือ เมื่อระดับห่างระหว่างวัสดุถึงหัวฉีดเท่ากับ 1 mm และ 6 mm พื้นผิวของฟิล์มจะมีความหยาบอย่างชัดเจน และมีสมบัติการยึดเกาะเพิ่มขึ้น เมื่อระดับห่างระหว่างวัสดุถึงหัวฉีดเท่ากับ 2 mm และ 3 mm พื้นผิวของฟิล์มจะมีความหยาบอย่างชัดเจนมากที่สุด และมีสมบัติการยึดเกาะมากที่สุด

Ligiang et al. (2011) ได้ทำการทดลองใช้พลาสma เจ็ทระบบความดันบรรยากาศ จากแก๊สผสมระหว่างชีเลี่ยมกับออกซิเจนปรับปรุงคุณสมบัติของผ้าฝ้ายถัก (Grey Cotton Knitted Fabric) เมื่อกำหนดให้ระดับห่างระหว่างหัวฉีดเจ็ทกับตัวอย่างผ้าฝ้ายถักมีค่าต่าง ๆ กัน วิเคราะห์ผลโดยการวัดความสัมผัสของขอบค่าน้ำบนตัวอย่างของผ้าฝ้ายถักหลังจากปรับสภาพ ด้วยพลาสma พบว่า มนุษย์สัมผัสของขอบค่าน้ำบนตัวอย่างผ้าฝ้ายถักมีค่าลดลงในช่วงแรก หลังจากนั้นจะเพิ่มขึ้นเมื่อระดับห่างระหว่างหัวฉีดเจ็ทกับตัวอย่างผ้าฝ้ายถักเพิ่มขึ้น ระดับห่างที่ดีที่สุดที่ทำให้มนุษย์สัมผัสของขอบค่าน้ำบนผ้าฝ้ายถักมีค่าอยู่ที่สูตรห่างระหว่าง 2-3 mm